

Колебания цепочек

Гебриал Ибрам Есам Зекри НПИ-01-18

Каримов Зуфар Исматович НПИ-01-18

Волков Тимофей Евгеньевич НПИ-01-18

Гаджиев Нурсултан Тофик оглы НПИ-01-18

Содержание

| | | |
|---|------------------------|----|
| 1 | Цель работы | 5 |
| 2 | Введение | 6 |
| 3 | Математический маятник | 7 |
| 4 | Выводы | 11 |

List of Tables

List of Figures

| | | |
|-----|---|----|
| 3.1 | Рисунок 1. Математический маятник. | 7 |
| 3.2 | Рисунок 2. Математический маятник. | 8 |
| 3.3 | Рис 3 и 4. Зависимость координаты x от времени t и фазовая диаграмма затухающих колебаний | 9 |
| 3.4 | Рис 5 и 6. Пример осциллограмм в случае большого трения | 10 |

1 Цель работы

Рассмотрение алгоритма задачи математического маятника.

2 Введение

Гармонический осциллятор, к изучению которого мы сейчас перейдем, будет встречаться нам почти всюду; хотя мы начнем с чисто механических примеров грузика на пружинке, малых отклонений маятника или каких-то других механических устройств, на самом деле мы будем изучать некое дифференциальное уравнение. Это уравнение непрестанно встречается в физике и в других науках и фактически описывает столь многие явления, что стоит того, чтобы изучить его получше. Такое уравнение описывает колебания грузика на пружинке, колебания заряда, текущего взад и вперед по электрической цепи, колебания камертона, порождающие звуковые волны, аналогичные колебания электронов в атоме, порождающие световые волны. Мы привели неполный список явлений, которые описываются почти теми же уравнениями, что и механический осциллятор. Эти уравнения называются линейными дифференциальными уравнениями с постоянными коэффициентами.

3 Математический маятник

Рассмотрим математический маятник: небольшой грузик массы m на нерастяжимой невесомой нити длины l . Пусть этот маятник совершает малые колебания вблизи положения равновесия и в некоторый момент времени нить маятника составляет угол α с вертикалью (рис. 3.1). Трение, включая сопротивление среды, в системе отсутствует. Учитывая, что сила натяжения нити всегда перпендикулярна скорости движения маятника и поэтому не совершает работу, запишем для данной колебательной системы закон сохранения энергии:

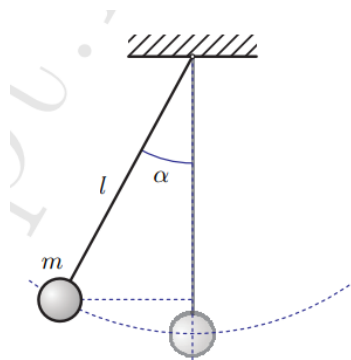


Figure 3.1: Рисунок 1. Математический маятник.

$$\frac{mv^2}{2} + mgl(1 - \cos\alpha) = E_0, \quad (1)$$

где ноль потенциальной энергии принят в положении равновесия. Воспользовавшись условием, что колебания происходят с малой амплитудой (т. е. угол α мал), используем приближение $\cos \alpha = 1 - \frac{\alpha^2}{2}$. Скорость движения грузика $v = \omega l = \alpha' l$, где ω — мгновенная угловая скорость вращения. Тогда уравнение (1) принимает вид

$$\frac{ml^2 \alpha'^2}{2} + \frac{mgl\alpha^2}{2} = E_0, \text{ или } \alpha'^2 + \frac{g}{l} \alpha^2 = \frac{2E_0}{ml^2}$$

После дифференцирования имеем

$$\alpha'' + \frac{g}{l} \alpha = 0$$

или, вводя обозначение $\omega_0^2 = \frac{g}{l}$, получаем

$$\alpha'' + \omega_0^2 \alpha = 0 \quad (2)$$

аналогичное уравнению

$$x'' + \omega_0^2 x = 0$$

Период колебаний такого маятника:

$$T = \frac{2\pi}{\omega_0} = 2\pi \sqrt{\frac{1}{g}}$$

Рассмотрим математический маятник длины l и массы m , совершающий малые колебания вблизи положения равновесия и испытывающий со стороны окружающей среды воздействие силы трения, величина которой пропорциональна скорости груза маятника (коэффициент пропорциональности β). Запишем для груза маятника второй закон Ньютона в проекции на ось x (рис. 3.2):

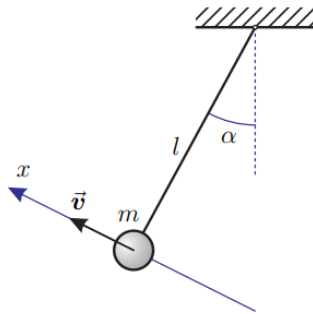


Figure 3.2: Рисунок 2. Математический маятник.

$$m \cdot v' = -\beta v - mg \sin \alpha$$

учитывая, что $v = l\alpha'$, а колебания малые, получаем

$$\alpha'' + \frac{\beta}{m} \alpha' + g \cdot l \alpha = 0$$

или вводя обозначения $\delta = \frac{\beta}{2m}$ и $\omega_0^2 = \frac{g}{l}$, находим $\alpha'' + 2\delta \alpha' + \omega_0^2 \alpha = 0 \quad (3)$

В обоих приведенных примерах мы пришли к уравнению свободных затухающих гармонических колебаний:

$$x'' + 2\delta x' + \omega_0^2 x = 0. \quad (4)$$

В зависимости от соотношения между δ и ω_0 уравнение (4) будет иметь различные решения:

а) При $\omega_0^2 > \delta^2$ решение уравнения (4) имеет вид

$$x(t) = x_0 e^{-\delta t} \cos(\omega t + \varphi), \omega = \sqrt{\omega_0^2 - \delta^2} \quad (5)$$

где величины x_0 — амплитуда колебаний и φ — начальная фаза колебаний определяются из начальных условий. График таких затухающих колебаний, а также изображение на фазовой плоскости приведены (рис. 3.3): Для характеристики того, насколько быстро происходит затухание колебаний, вводят характерное время затухания $T = \frac{1}{\delta}$, представляющее собой время, за которое амплитуда колебаний уменьшится в e раз.

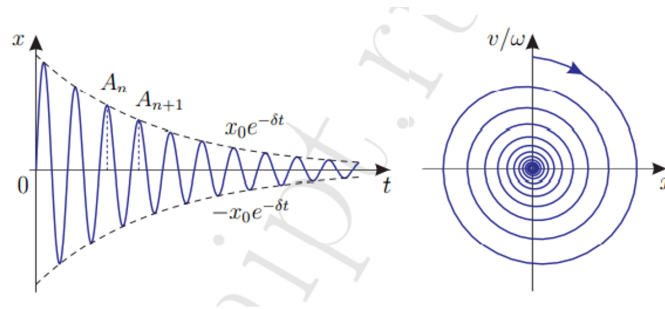


Figure 3.3: Рис 3 и 4. Зависимость координаты x от времени t и фазовая диаграмма затухающих колебаний

б) При $\omega_0^2 < \delta^2$ решение уравнения (4) имеет вид

$$x(t) = x_{01} e^{-\delta t} e^{\sqrt{(\delta^2 - \omega_0^2)}t} + x_{02} e^{-\delta t} e^{-\sqrt{(\delta^2 - \omega_0^2)}t} \quad (6)$$

в) При $\omega_0^2 = \delta^2$ решение уравнения (4) имеет вид

Величины x_{01} и x_{02} также определяются из начальных условий

$$x(t) = x_{01} e^{-\delta t} + x_{02} t e^{-\delta t} \quad (7)$$

Зависимости (6) и (7) носят аперiodический характер и не являются колебаниями. Графики этих зависимостей приведены (рис. 3.4). Далее мы будем рассматривать только случай $\omega_0^2 > \delta^2$

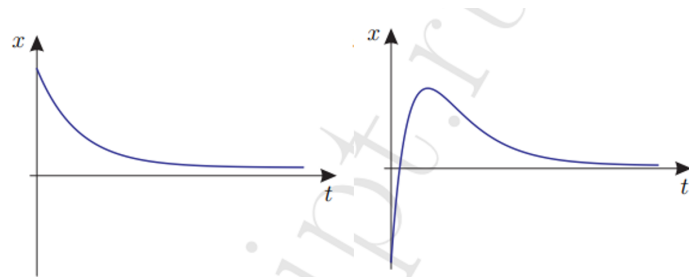


Figure 3.4: Рис 5 и 6. Пример осциллограмм в случае большого трения

4 Выводы

Рассмотрели алгоритм задачи математического маятника.